

UDC 621.455  
629.1.07  
551.54

# 航空宇宙技術研究所資料

TECHNICAL MEMORANDUM OF NATIONAL AEROSPACE LABORATORY

TM-101

低圧環境下における固体ロケットモータの性能

望月 昌・五代富文・湯沢克宜

斎藤 信・伊藤克彌

1967年3月

航空宇宙技術研究所  
NATIONAL AEROSPACE LABORATORY

(3)

## 既刊資料

TM-40	国産中型輸送機 Y S-11胴体疲労試験 (I)	1964年9月	竹内和之, 川島矩郎
TM-41	抵抗線歪ゲージのゲージ率測定	1964年10月	田畠淨治, 大坪孔治
TM-42	実在着氷条件の測定について	1964年10月	滝沢実次, 田寺木一
TM-44	高負荷燃焼器(アニュラ模型)の実験 結果	1964年12月	古泉日出夫, 大塚貞吉, 鈴木邦男
TM-46	翼胴結合金具の疲労特性	1964年12月	松本宏, 石井浅五郎
TM-47	ローター後流中のヘリコプター胴体の 抵抗について	1965年1月	広木強, 山中国雍
TM-48	極超音速風胴用ペブル加熱器の予備実 験	1965年1月	竹内和之, 藤枝郭俊一
TM-49	Queen-Air 機の失速特性について	1965年2月	幸尾治朗, 岡岡遠一
TM-50	L S-A 型ロケットの曲げ剛性および 振動試験について	1965年2月	照井祐一, 田中幸武
TM-51	超音速風胴空力データ表示記録装置	1965年5月	中井暎一, 堀日出夫
TM-53	ベクトルのノルムと行列のノルム —数値解法の収束条件その他への応用—	1965年5月	谷原日出夫, 高島一明
TM-54	熱衝撃試験用風胴整備試験	1965年5月	原垣利雄, 近藤洋史
TM-55	ロケット模型風胴試験における超音速 相似則の応用	1965年5月	河崎洋治郎, 池田為治
TM-56	2024-T4アルミニウム合金平滑丸棒の 常温回転曲げ疲労試験	1965年5月	坂元思無邪, 光山敏雄
TM-57	極超音速における軸対称物体の前面抵 抗	1965年7月	河崎俊夫, 谷喬
TM-58	試験用飛しょう体の超音速風胴試験	1965年7月	石田誠, 河野哲雄
TM-59	ジェットリフトエンジン空気取入口の 実験(I)	1965年7月	曾我國男
TM-60	吹出式超音速風胴における実験データ の処理方式について(II)	1965年8月	斎藤秀夫, 木村友昭
TM-61	クインエア機の風胴試験	1965年9月	近藤博, 増田惣平
TM-62	高温歪ゲージの温度特性試験	1965年9月	原亘亘利, 高島一明
TM-63	2024-T3アルミニウム合金の有孔補強 平板の軸荷重による疲労特性	1965年9月	戸川根英子, 中正夫
TM-64	応力集中による材料の疲れ強さに関する 一実験(I)	1965年9月	広末健一, 矢沢健司
TM-65	ジェットエンジンの翼の固有振動に関する 実験	1965年9月	佐野四郎, 村征一
TM-69	質量分析計による水蒸気を含む試料の ガス分析	1965年10月	佐野信宏
TM-71	可動アイアンバードの構造および機能	1965年10月	別江幸一
TM-72	地上付近の風の影響による小型ロケット の姿勢角変化	1965年10月	飯田宗四郎
TM-73	固定端を有する薄肉円筒殻の自由振動 について	1965年10月	池田為治, 坂元思無邪
TM-74	回転振動試験装置の計画, 構造および 特性	1965年11月	光山敏雄
TM-75	高マッハ数風胴の消音装置について	1965年12月	武内昌二, 宮地敏雄
TM-76	コーティングの断熱効果のアナログシ ミュレーション	1965年12月	星谷澄夫, 堀内正司
TM-77	テレメータ電波の偏波面の回転を利用 したロケットのスピinn測定について	1965年12月	星中村浩子
TM-78	昇降舵の操舵力特性に関するシミュレ ータ解析	1965年12月	機体第一部, 計測部
TM-79	テレメータ機上装置の小型化の研究	1966年1月	原戸川隼人, 石黒登美子
TM-80	安定制御のための一計算法	1966年1月	田寺木一, 泉日出夫
TM-81	吹出式超音速風胴の起動時および停止 時における過負荷防止装置	1966年2月	星谷健三, 清水福寿
TM-82	ピトー管による境界層速度分布測定に ついて	1966年2月	牛田吉永崇
		1966年2月	小川鉄一
		1966年3月	田畠淨治, 桜井善雄
		1966年3月	三浦雅男
		1966年3月	堀川勇壮, 森幹彦
		1966年3月	中野佳直
		1966年3月	新田慶二
		1966年3月	星崎哲久
		1966年3月	原久政隆, 斎藤秀夫
		1966年3月	外石立均
		1966年4月	宗長美均
		1966年4月	洲秀夫, 柏原登喜子

# 低圧環境下における固体ロケットモータの性能\*

望月 昌\*\*・五代富文\*\*・湯沢克宜\*\*

斎藤 信\*\*・伊藤克彌\*\*

減圧タンク中で小型固体ロケットモータの燃焼実験をおこない、外気圧および円錐形ノズルの開口比が、ロケットの推力に及ぼす影響を求めた。供試固体ロケットは、直径 38mmφ、長さ 101mm、重量 120g、内面燃焼方式。減圧タンクは約 1m<sup>3</sup>で、約 22m<sup>3</sup>の圧力調整タンク付。82回の実験によれば、外気圧 212mmHg に対し約 18, 108mmHg に対し約 36, 5mmHg に対し約 64 の開口比をもつノズルがこのロケットに最適である（最大の推力を与える）ことが示され理論式と一致した。またある開口比ノズルにおいては、外気圧が 760mmHg, 415mmHg, および 212mmHg のとき、剥離に起因するものと思われる推力の増加をみた。剥離を生ずる開口比の値は、理論式、実験式とよい一致を示した。

## 1. はじめに

ロケットモータの推力係数は、飛昇高度が上がり外気圧が下がるほど増し、実質的に推力の増加となって現われる。

また、それぞれの外気圧に対応する最も適当なノズルの開口比が存在し、この最適なノズルをもったモータが、その外気圧で最大の推力を与える。

この二つの内容は理論的に導かれる。

実際のノズルを設計するにあたり、適正なものを選び出すことは特に高空で燃焼を続ける多段ロケットの場合飛昇性能の本質に連なる重要な問題である。

これを実験によって裏付けようすると、種々の困難が伴う。

小型ロケットといえども、大量の燃焼ガスを噴出するので、外気圧を一定に保たるために、巨大な真空ポンプ、イジェクタ、あるいは減圧タンクを必要とするなど、設備が大型化する。逆に、巨大な設備によっても、実験できるのは、比較的小型のロケットであるため、計測系の誤差は相対的に大きくなり解析が困難となる。管見によても、この種の実験研究報告は、公

表されたものはきわめて少ない<sup>1)</sup>。

筆者等は、当ロケット部に設備された高空燃焼試験設備により、外気圧およびノズル開口比の変化が推力に及ぼす影響について実験的研究を行なったのでここに報告する。

## 2. 理論式

ロケットモータの推力は、理論的には、エネルギー保存則、質量保存則、および完全気体の状態式の三つの関係式から求められる。ここで次の諸点を仮定条件とする。

イ 推進薬と生成気体は、それぞれ一様である。

ロ 生成気体は、完全気体である。

ハ 化学平衡は、燃焼室内で完了する。

ニ 流体の進行方向は軸に平行である。

ホ 流体と壁との間の摩擦はない。

ヘ 流体と壁との間の伝熱はない。

以上の仮定のもとに得られる理論式は、

$$F = A_t p_1 \sqrt{\frac{2r^2}{r-1} \left( \frac{2}{r+1} \right)^{r+1/r-1} \left[ 1 - \left( \frac{p_2}{p_1} \right)^{r-1/r} \right]} + (p_2 - p_s) A_2 \quad (1)$$

あるいは

$$C_F \equiv \frac{F}{A_t p_1} \text{ とおけば}$$

\* 昭和42年2月21日

\*\* ロケット部

$$C_F = \sqrt{\frac{2\gamma^2}{\gamma-1} \left( \frac{2}{\gamma+1} \right)^{\gamma+1/\gamma-1} \left[ 1 - \left( \frac{p_2}{p_1} \right)^{\gamma-1/\gamma} \right]} + \frac{(p_2-p_3)}{p_1} \frac{A_2}{A_t} \quad (2)$$

となる<sup>2)</sup>。

$F$  : 推力

$A$  : 断面積

$\varphi$  : 圧力

$\gamma$  : 比熱比

$C_F$  : 推力係数

$\varepsilon$  : 開口比 =  $\frac{A_2}{A_t}$

$I_{sp}$  : 比推力 =  $\frac{\int F dt}{W}$

$t$  : 燃焼秒時

$W$  : 推進薬重量

添字

1 : 燃焼室内

2 : ノズル出口

3 : 外部

$t$  : スロート

(1)式において推力  $F$  は、一定推進薬を用いた一定のロケットモータについて、外気圧  $p_3$  に対していかに変化するか。

ロケットモータのノズルスロート部における噴出ガス流の速度が音速以上であれば、外気圧変化は燃焼室内におよぼすことはない。ドラバルノズルでは、この速度は音速に等しいから、推進薬の形状、状態、種類、性能と、燃焼室の形状、状態が決まっていれば、 $p_1$  と  $\gamma$  は外部の変化を何らうけることなく、一義的に決まる。ゆえに、(1)式においてあきらかなように、外気圧  $p_3$  が小さくなると推力  $F$  は増加する。

また、外気圧  $p_3$  が一定のとき、開口比を変えることにより  $p_2$  を変えれば、 $p_2=p_3$  のとき最大推力を得る。これは、(1)式を  $p_2$  について微分して得られる。そのときの  $p_2$  を与える開口比を最適開口比という。

### 3. 実験装置と計測方法

図1、2に示した小さい水平の真空タンクの内容積は約  $1m^3$  で、この中に図3のテストスタンドをすえる。たて型の大タンクは、内容積約  $22m^3$ 、タンクの連結管内径は  $15cm$  である。両タンクを排気し、所定の外気圧を設定する。燃焼廃ガスは大タンクへはいり、燃焼中の気圧変化が小さくされる。

テストスタンドは水平ローラ支持式で推力は、頭部のロードセルにより、また燃焼内圧および真空タンク圧は、電気抵抗線歪計式ピックアップにより、それぞれ計測される。

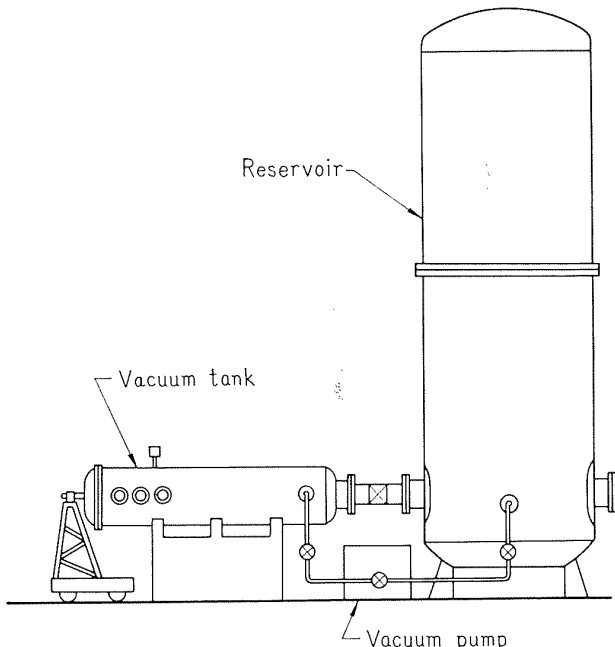


Fig. 1 Sketch of Simulated High Altitude Testing Facility

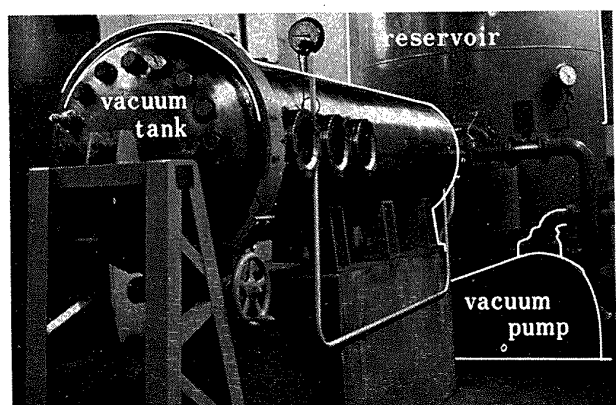


Fig. 2 Vacuum Tank

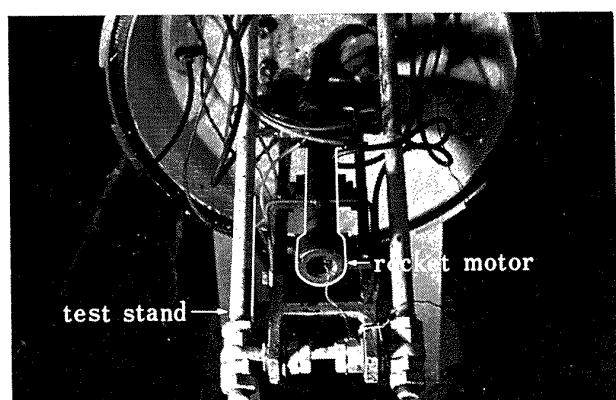


Fig. 3 Rocket Motor before Static Test

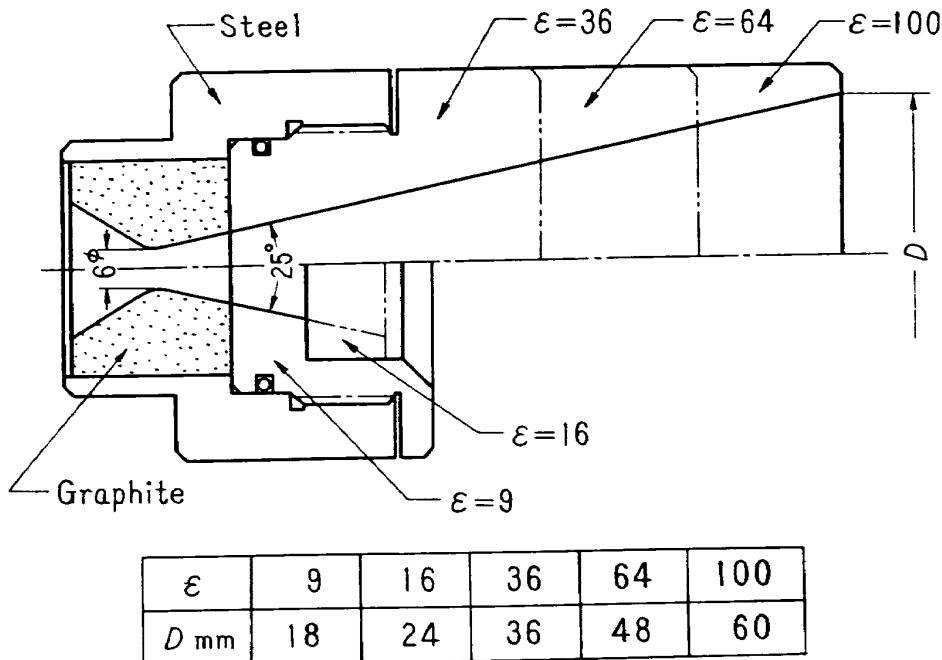
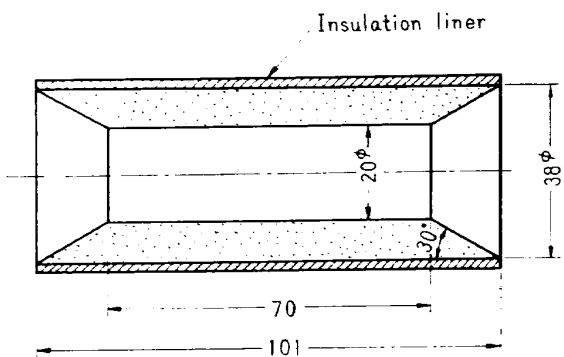


Fig. 4 Nozzles

用いたノズルを図4に示す。

使用した推進薬は、過塩素アンモニウムを酸化剤としたポリブタジエン系コンポジットの丸孔内面燃焼方式で形状は図5に示す。この推進薬は1ロットにより生産され、性状は各個等しいと考える。1個の重量  $120g \pm 1g$ 、密度  $1.68g/cm^3$ 、燃焼速度は、 $50kg/cm^2$  内圧で  $7.0mm/\text{秒}$ 。燃焼秒時平均  $1.3\text{秒}$ 。点火は、KAM 1gによる。

Fig. 5 Propellant; Aluminized Polybutadiene ( $120 \pm 1g$ )

#### 4. 実験値

図1、2に示した装置の到達真真空度は、 $10^{-2}\text{mmHg}$  で、高度  $70\text{km}$  の大気圧に相当するが、燃焼廃ガスがタンク内圧を高めてしまうため、それほど高い高度を現出できない。また、二つのタンクの連結管の内径がやや細いので、ロケット燃焼中の真空タンク圧の上昇

が無視できない。このタンク圧はロケットの推力および燃焼内圧と同時に計測されたが、その上昇圧分を燃焼終了後の平衡状態に至るまで積分し、全燃焼秒時で除してタンク初圧に加えたものを平均外気圧  $p_a$  とした。表にすると次のようになる。

設定タンク圧	最大ピーク圧	平均外気圧	平均外気圧に対する高度
400mmHg	25mmHg	415mmHg	5km
200	22	212	10
100	14	108	16
1	5	5	35

推力は、全燃焼秒時について積分し、これを推進薬重量で除して比推力とする。

内圧も同様に全燃焼秒時について積分し、これを全燃焼秒時で除した値を平均内圧とする。

82回の燃焼実験についての、この平均内圧の算術平均値は、 $51.6kg/cm^2$ 、またその標準偏差は  $3.9kg/cm^2$  であった。偏差が大きかった理由により、推力係数  $C_F$  を直接に求めず、推力を比推力に換算し、これを開口比  $\epsilon$  について表わしたのが、図6, 7, 8, 9, 10、および11である。

また、このロケットモータの代表的な推力、内圧と時間曲線を、図17に示す。

#### 5. 検討

これらの図より知りうるところを列挙する。

イ) 開口比の同じノズルをもつロケットは外気圧の下がるほど、推力が増加し、また、各外気圧において、最大推力を与える最適開口比が存在する。

最適開口比は、外気圧 212mmHg のとき約 18、以下同様に、108mmHg に対し約 36、5mmHg に対し約 64 の値を得た。供試ノズルの構造上、開口比 9 以下のものの実験を行なわなかったが、図より、外気圧 760mm Hg および 415mmHg の場合も、9 以下に最適開口比の存在することを予想させる。

これらの値を、(1)および後述(4)の両理論式より得られる破線 2 条 ( $\gamma = 1.2 : 1.3$  の場合) と比較すると、よい一致を示していることがわかる。これに対して、比推力は、理論値より、ほぼ 10% 低く得られた。

ロ) 既述のごとく、内圧のはらつきが比較的大きいのに対して、図にあきらかにように、推力の再現性はよい。このことは、内圧のはらつきが、内圧真値の変動によるものではなく、測定値のはらつきによるものであることを推定させる。燃焼内圧が一定であれば、推力係数  $C_F$  は、比推力  $I_{sp}$  に正比例する。

ハ) 図 6, 7, 8において、 $\varepsilon$  を大きくしていくと曲線は、途中から点線にのらず期待される値より大きい値をとる。これはノズル内壁における流れの剥離に起因するものと考える。

最適ノズルの  $\varepsilon$  より大きい過膨張型ノズルの場合、出口圧力  $p_2$  は、外気圧  $p_3$  より小さくなるためノズル内壁に境界層の剥離現象を生じさせる。剥離により、 $p_2$  と  $p_3$  の差が小さくなり推力の増加をきたす。

燃焼室内圧  $p_1$  と、外気圧  $p_3$  が与えられたとき、剥離の始まる面の圧力  $p_s$  がいかなる値をとるかに関する研究は多数発表されているが、ここでは、S. Kalt<sup>3)</sup> らによりまとめられた次の実験式によって試算し、われわれの実験結果と比較した。

$$\frac{p_s}{p_3} = \frac{2}{3} \left( \frac{p_1}{p_3} \right)^{-0.2} \quad (3)$$

および (1) 式と同列の理論式

$$\varepsilon_s = \frac{A_s}{A_t} = \frac{\left( \frac{2}{\gamma+1} \right)^{\frac{r+1}{2(r-1)}} \sqrt{\gamma-1} \left( \frac{p_1}{p_s} \right)^{\frac{1}{r}}}{\sqrt{1 - \left( \frac{p_s}{p_1} \right)^{\frac{r-1}{r}}} \quad (4)}$$

添字  $s$  : 剥離面

この両式に大気圧下の実験値  $p_1 = 51.6 \text{ kg/cm}^2$ ,  $p_3 = 1.033 \text{ kg/cm}^2$  を与えて計算すると、 $p_s = 0.28 \text{ kg/cm}^2$  を得、また  $\gamma = 1.3$  と仮定すれば  $\varepsilon_s = 16 \sim 17$  となり実測値と一致する。同様に、外気圧  $p_3$  が 415mmHg

および 212mmHg について求めると、 $\varepsilon_s$  はそれぞれ 23, 45 となり、図 7, 8 に現われた点とよい一致を示すことがわかる。

ニ) 得られたデータを高度に対してプロットしたものを図 12, 13, 14, 15 および 16 に示す。縦軸は完全真空状態における推力係数の比であり、実線はさきに記した理論式 (2) より求めたものであり、実験値とかなり良い一致を示す。

一般に曲線は三つの領域にわかれており、高度の高い場合には、ノズル内は燃焼ガスにより、かつ、ノズル出口圧  $p_2$  が外気圧  $p_3$  より大きく不足膨張の状態下にある。この場合は高度が低下した場合の推力の減少率は比較的小さい。

さらに高度が低下すると、ノズル出口圧  $p_2$  が外気圧  $p_3$  より小さくなり過膨張状態となり、出口付近のノズル内の圧力が負の推力を与えるため推力は高度の低下とともに急激に減少する。しかし、さらに低空では、ノズル内で剥離現象が起きてノズル内圧が回復するため負の推力が消滅し、推力の減少率は比較的小くなる。

ホ) 第 4 節で述べたように、設定外気圧は、ロケット推進薬の燃焼廃ガスにより昇圧する。同一推進薬による燃焼廃ガスの分圧は、平衡状態でいずれも等しくならなければならないが、ここでは、初期設定圧の高いものほど昇圧も大きく現われている。断熱膨脹比の差などが一因と考えられる。

本報告作成に至る間、終始ご指導あるいは討論して下さった黒田ロケット部長はじめロケット部の方々に厚くお礼申しあげる。

## 文 献

- 1) C. C. Ciepluch; Performance of a Solid Propellant at Simulated High Altitudes, NASA TM-X-95 1965 declass.
- 2) G. P. Sutton; Rocket Propulsion Elements, Chap. 3. John Wiley and Sons Inc. 1963.
- 3) S. Kalt and D. L. Badal; Conical Rocket Nozzle Performance under Flow-Separated Conditions, J. Spacecraft and Rockets 2 447 1965.
- 4) E. J. Roschke and P. F. Massier; Flow Separation in a Contour Nozzle, ARS Journal 32 1612 1962.

- 5) M. Arens and E. Spiegler; Shock-Induced Boundary Layer Separation in Overexpanded Conical Exhaust Nozzles, AIAA Journal 1 578 1963.

- 6) M. Arens; The Shock Position in Overexpanded Nozzles, J. Roy. Aeronaut. Soc. 67 268 1963.

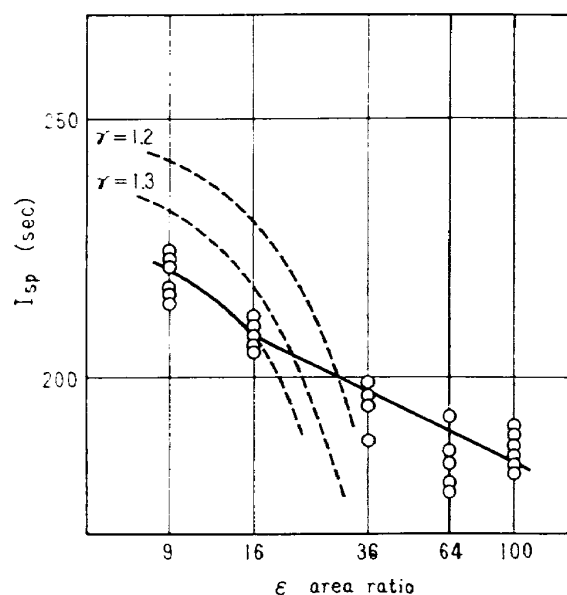


Fig. 6 Specific Impulse vs Area Ratio  
( $p_s = 760\text{mmHg}$ )

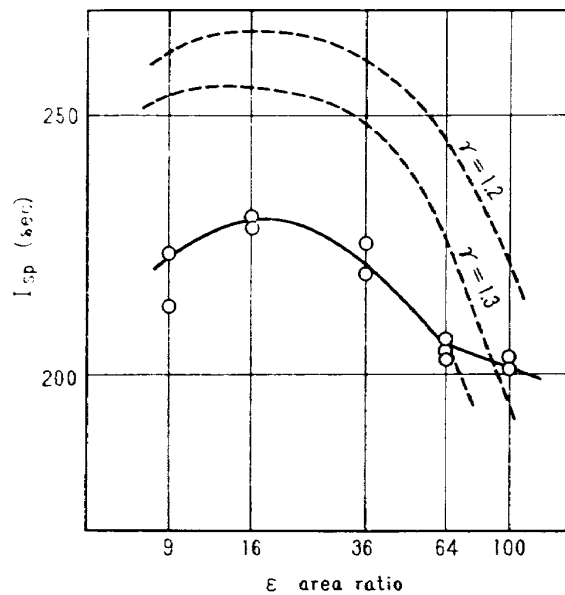


Fig. 8 Specific Impulse vs Area Ratio  
( $p_s = 212\text{mmHg}$ )

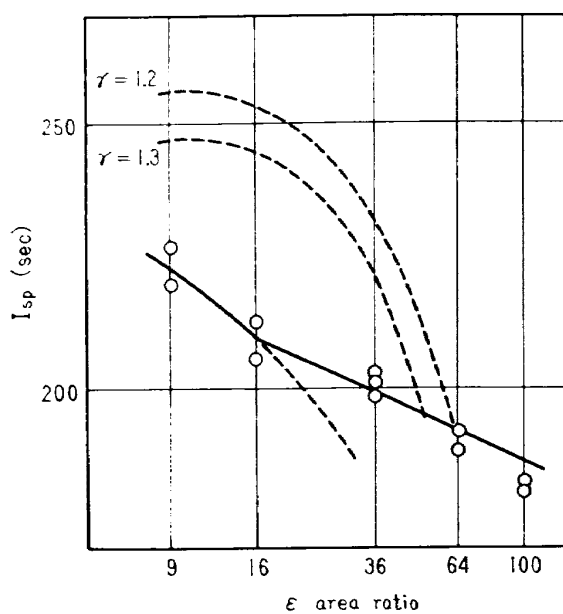


Fig. 7 Specific Impulse vs Area Ratio  
( $p_s = 415\text{mmHg}$ )

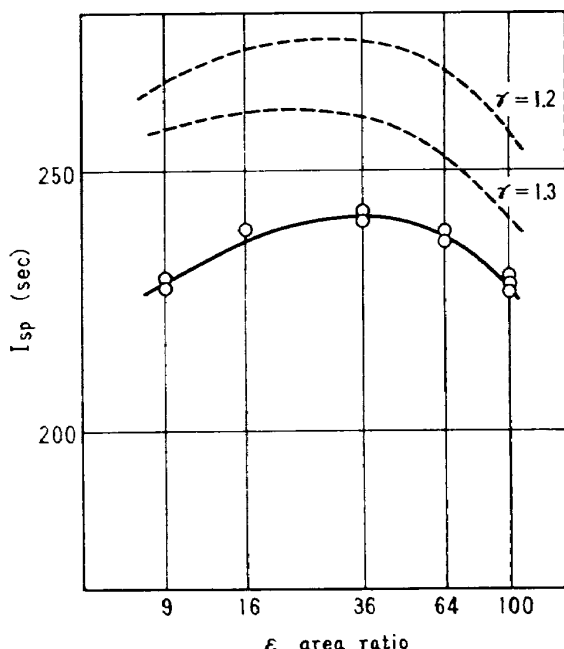


Fig. 9 Specific Impulse vs Area Ratio  
( $p_s = 108\text{mmHg}$ )

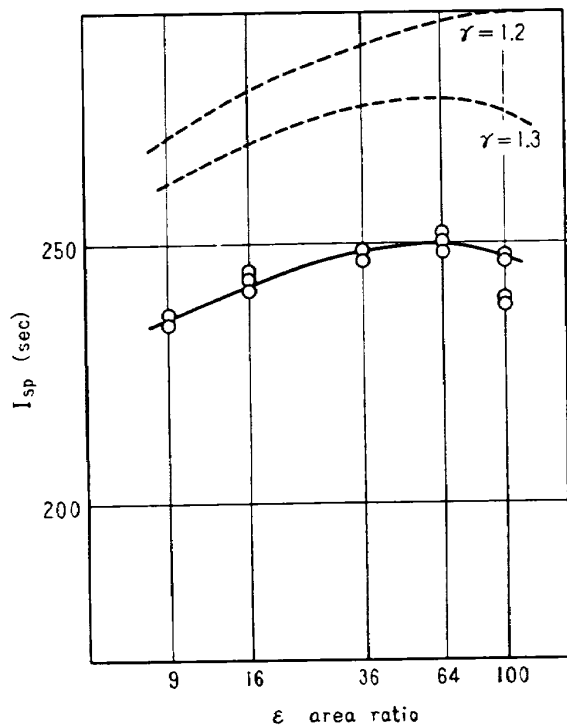


Fig. 10 Specific Impulse vs Area Ratio  
( $p_3 = 5\text{mmHg}$ )

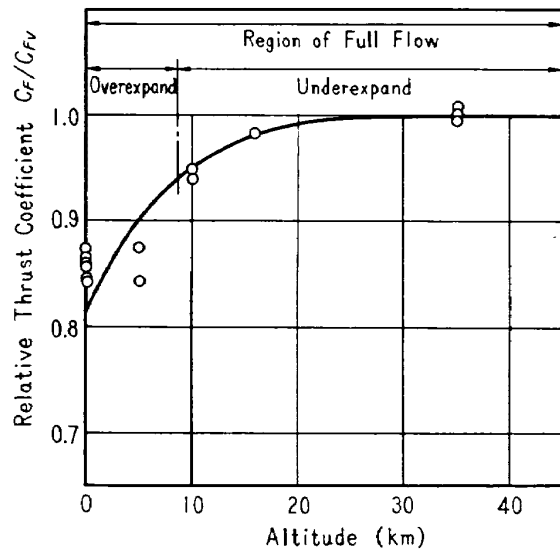


Fig. 12 Variation of Relative Thrust Coefficient vs Altitude ( $\epsilon = 9$ )

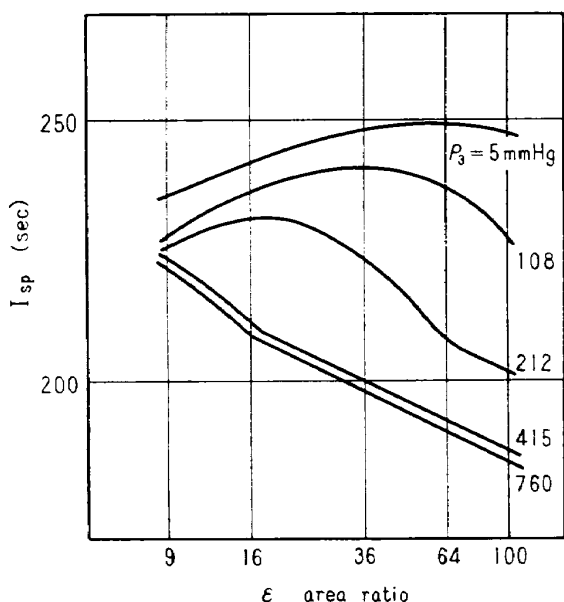


Fig. 11 Specific Impulse vs Area Ratio

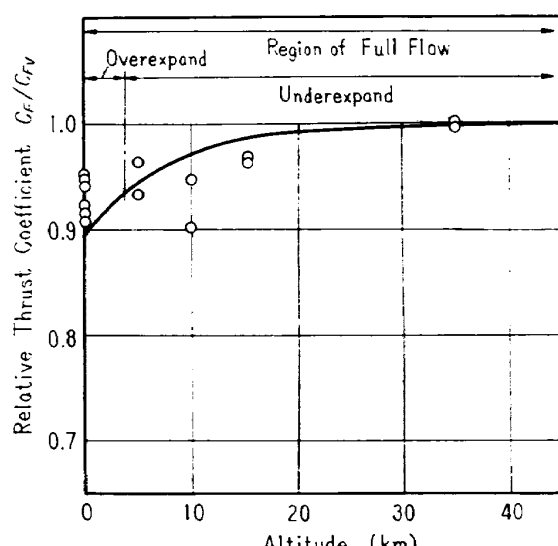


Fig. 13 Variation of Relative Thrust Coefficient vs Altitude ( $\epsilon = 16$ )

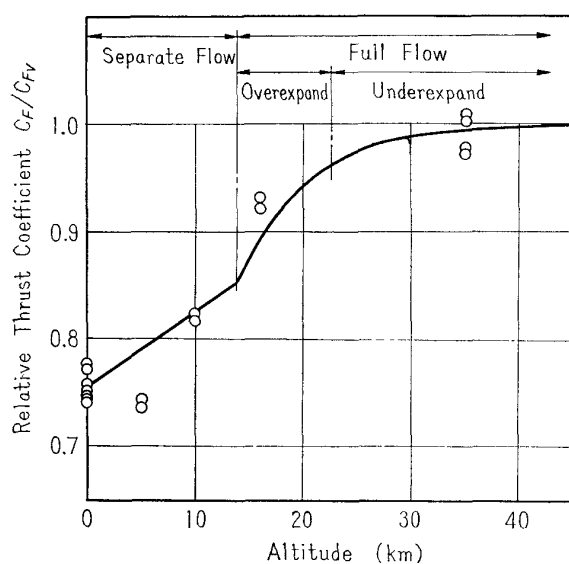


Fig. 14 Variation of Relative Thrust Coefficient vs. Altitude ( $\epsilon=36$ )

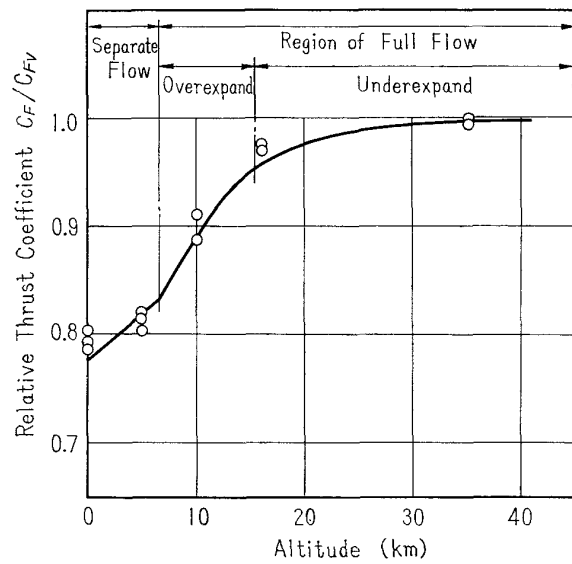


Fig. 15 Variation of Relative Thrust Coefficient vs. Altitude ( $\epsilon=64$ )

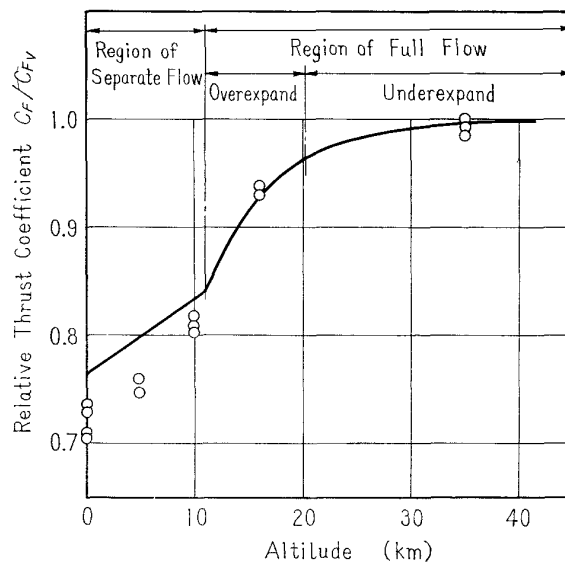


Fig. 16 Variation of Relative Thrust Coefficient vs. Altitude ( $\epsilon=100$ )

Test No. 1965-2-5-3  
Area ratio : 64

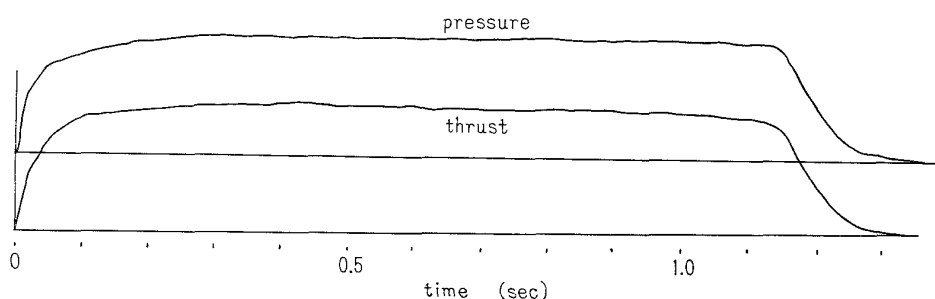


Fig. 17 Typical Thrust Pressure—Time Curve

TM-83	ジェットリフトエンジン空気取入口の実験(II)	1966年4月	近藤 博, 増田 惣平
TM-84	二段ロケットの低速風洞試験	1966年7月	毛利 浩, 田村 敦宏 佐野 四郎, 能村 実
TM-85	航空機の滑走路走行時の振動に関する実験的研究	1966年8月	小野 幸一
TM-87	極小型超音速機用姿勢制御装置の特性解析	1966年8月	池谷 光栄, 畑山 茂樹
TM-88	プロペラ後流偏向型STOL機の風洞試験(I)	1966年9月	犬丸 矩夫, 岡部祐二郎 北村 清美, 川幡 長勝 木村 友昭
TM-89	有孔板の振動について	1966年9月	川井 忠彦, 泉 日出夫
TM-90	地上付近の横風の影響による小型ロケットの方位角変化	1966年9月	戸川 隼人, 石黒登美子
TM-91	高速タービン翼列二次元試験	1966年10月	近藤 博, 萩原 光弘
TM-92	リフト・ジェットエンジン試験設備(I) 一台上運転設備	1966年10月	近山崎 紀雄, 吉田 晃昇 大山 耕一, 中山 晋, 菅原
TM-94	J-3ジェットエンジン用タービン動翼の固有振動特性	1966年11月	五味 光澄, 田中 俊男 武内 敏雄, 星谷 昌二
TM-95	超軽量軸流圧縮機動翼の固有振動特性	1966年11月	武宮 地敏, 宮地 敏雄
TM-96	2024-T4および7075-T6有孔平板の曲げ疲労試験と2024-T4平滑丸棒の軸荷重疲労試験	1966年11月	星谷 昌二, 佐野 政明, 荫岡 一洋
TM-97	高マッハ数風洞について(II)	1967年1月	吉永 崇, 井上 建二 広田 正行, 楠篤志
TM-98	40kW プラズマ発生装置の諸特性	1967年1月	野村 昭, 相原 康彦
TM-99	搭載機器用環境試験装置の特性	1967年2月	大月 正男
TM-100	二連型リフトエンジンの吸込み抵抗	1967年3月	近藤 博, 大城 章一郎

注: 次番は配布先を限定したもの

## 航空宇宙技術研究所資料101号

昭和42年3月発行

発行所 航空宇宙技術研究所  
東京都調布市深大寺町1880  
電話武藏野三鷹(0422)44-9171(代表)

印刷所 奥村印刷株式会社  
東京都千代田区西神田1-1-4

